



圖 1 7月29日與劉正千助理教授及謝正倫教授於日本東京成田機場終點站1會合。

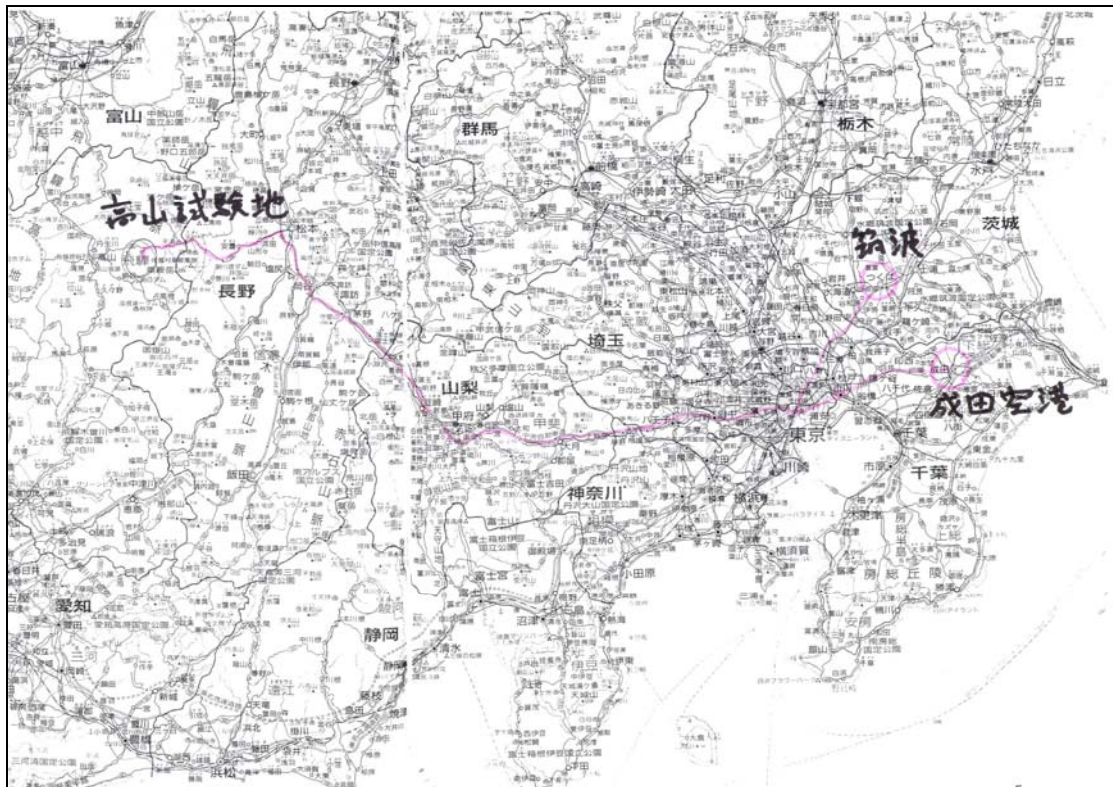


圖 2 東京成田機場、筑波及高山實驗區位置地形圖。



圖 3 屬於岐阜大學流域盆地科學研究中心管理的高山實驗中心，中心旁裝設有監測植物生態變化的設備，屋頂上裝設有接收各個方向太陽光資訊的設備，及向上拍攝雲量的相機。



圖 4 岐阜大學流域盆地科學研究中心管理的高山實驗中心，屋頂上所裝設之接收各個方向太陽光資訊的設備，及向上拍攝雲量的相機。



圖 5 高山野外植物生態觀測站，整個支架寬公尺高公尺。



圖 6 高山野外植物生態觀測站支架頂部裝設有測量光譜值之儀器及可向上與向下翻轉之照相設備。



圖 7 日本－台灣應用遙測於環境監測合作研討會，日方參加者包括岐阜大學流域盆地科學研究中心教授、助理教授、研究生、東京大學博士後研究人員及研究生、以及筑波大學西田講師及其研究生。

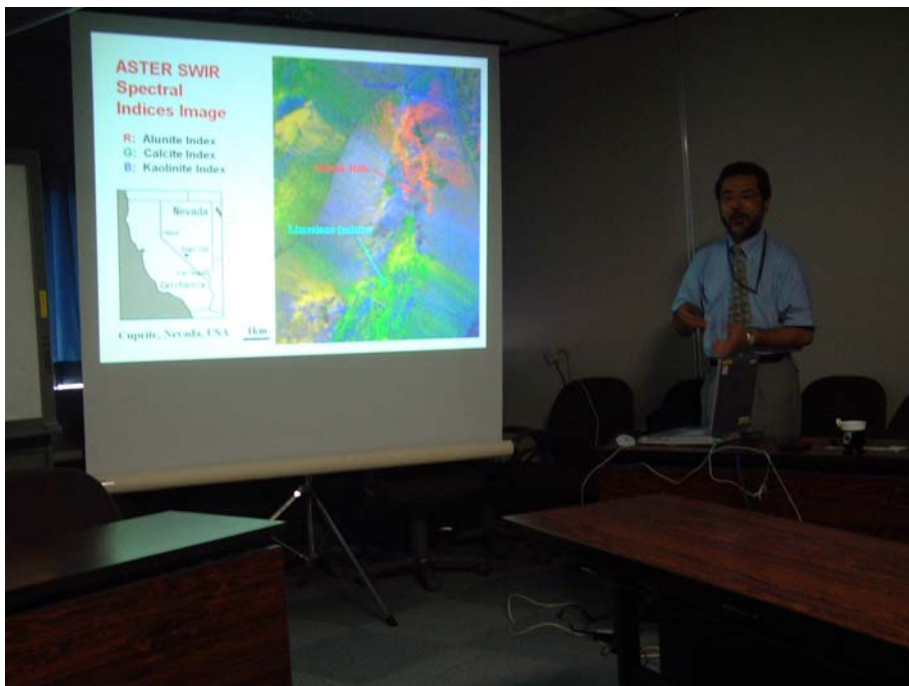


圖 8 ASTER 衛星影像研究群的領導者名古屋大學的山口（Yamaguchi）

博士，對 ASTER 做一介紹及其影像應用之回顧報告及講解。

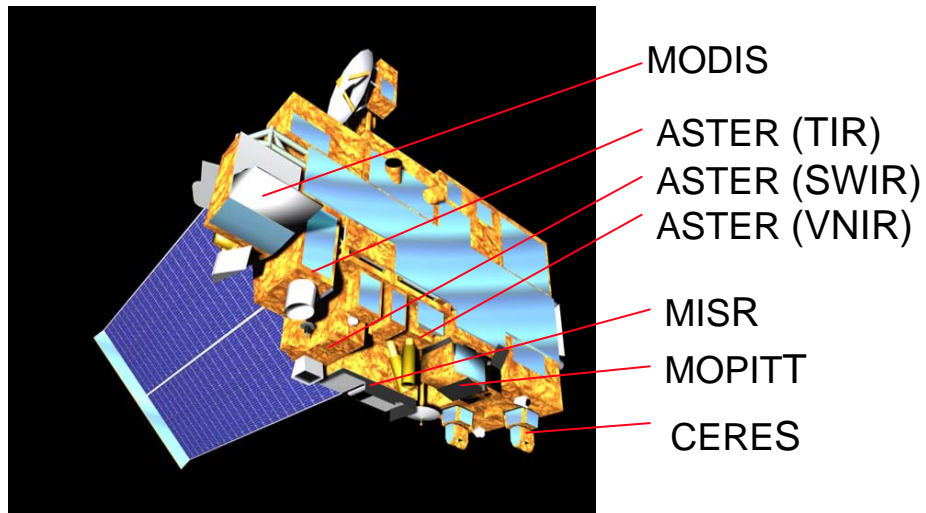
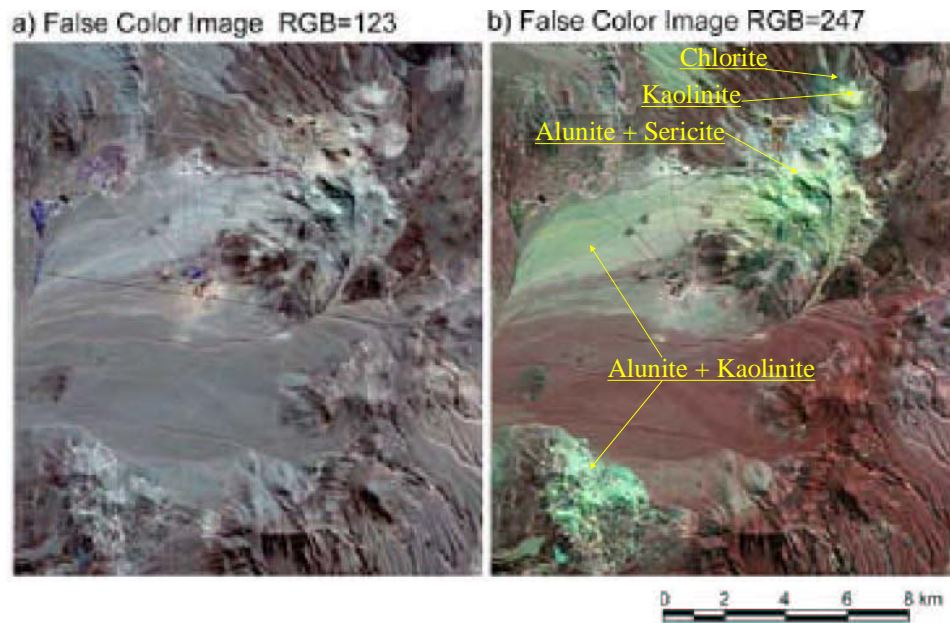


圖 9 Terra 衛星上的儀器

El Salvador Mine, Chile



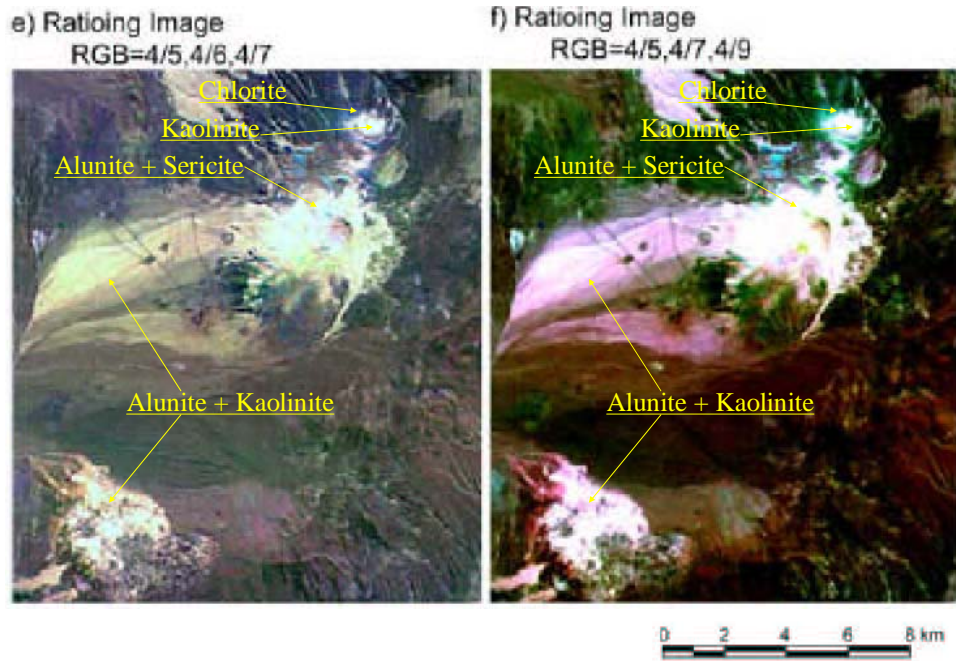


圖 10 ASTER 衛星影像 SWIR 波段中不同 RGB 波段的組合所處理的假彩色影像（圖 10a, b, e, f），經由 RGB 比例調配處理的假彩色影像（10e, f），可更清楚的分辨不同礦物組成的分布。

ASTER Bottom Index Map

(Matsunaga, 2001)

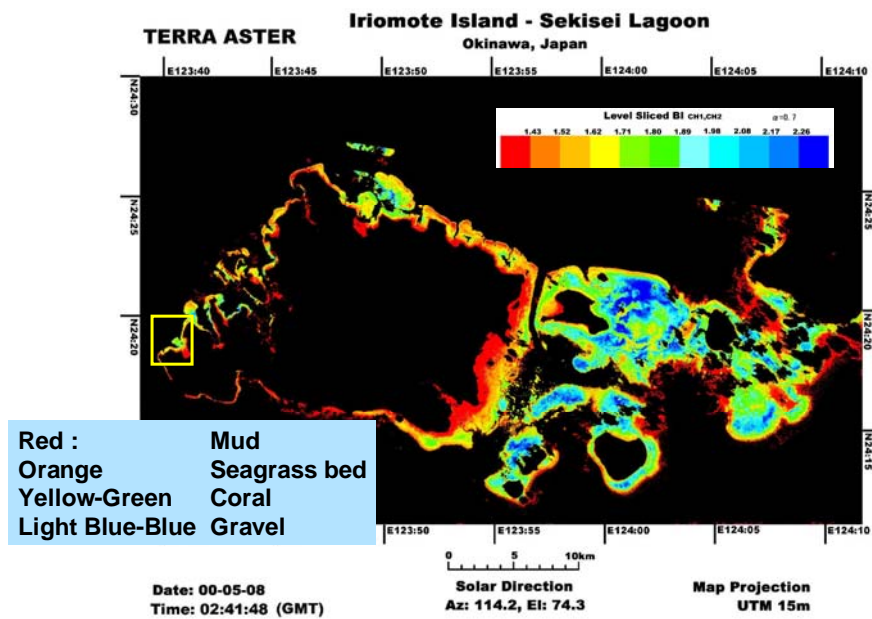


圖 11 ASTER 衛星影像應用於海岸底質的辨識所製作之底質指標圖。

Volcanic SO₂ flux monitoring with ASTER

- ✓ SO₂ rich plume absorbs 8.6μm thermal emission from the sea surface -> Lower brightness temperature for band 11 (Cyan color).
- ✓ SO₂ flux was estimated at 3 - 10 x10⁴ [t/day] on Nov. 8, 2000.

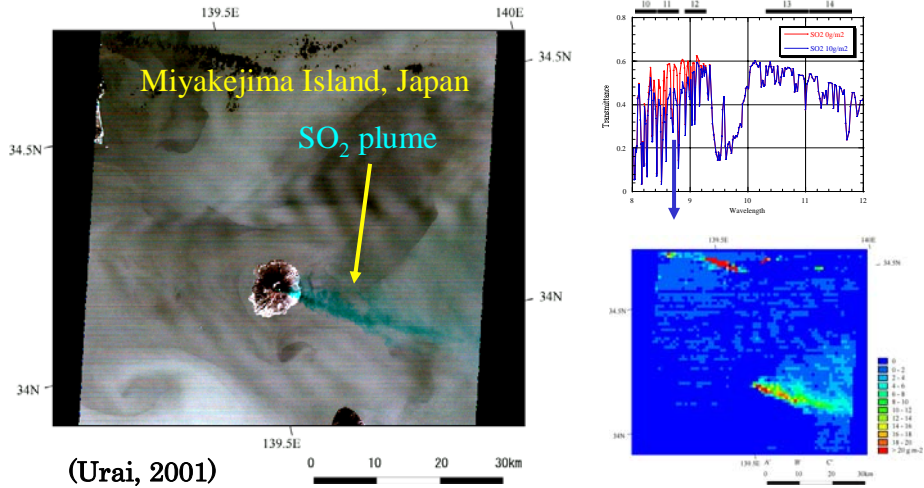


圖 12 ASTER 衛星影像應用於監測日本 Miyakejima 島火山的 SO₂ 氣體噴出量。

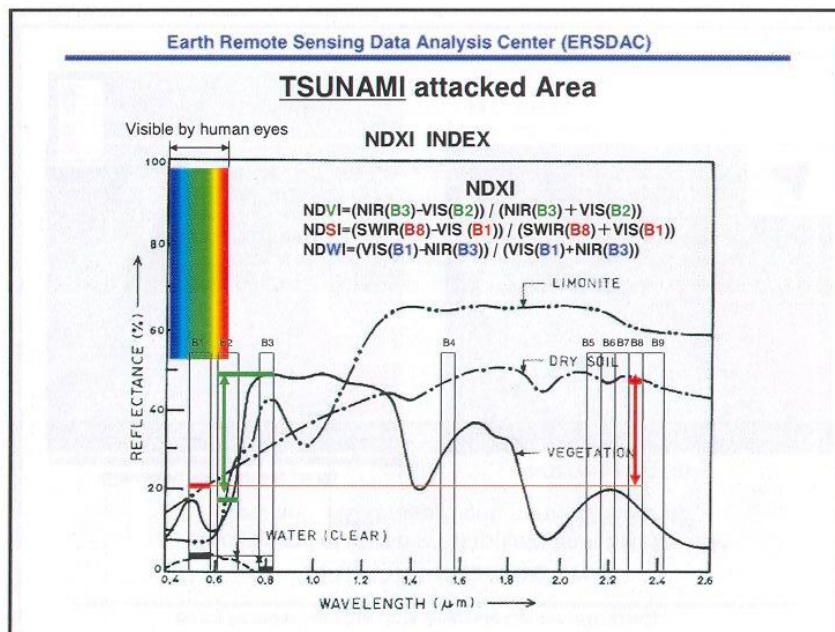


圖 13 日本資源環境觀測解析中心將 ASTER 影像應用 NDVI 影像處理技術來分析班達亞齊省南亞海嘯災情。

Stereoscopic Image along track (Principles of ASTER DEM Product)

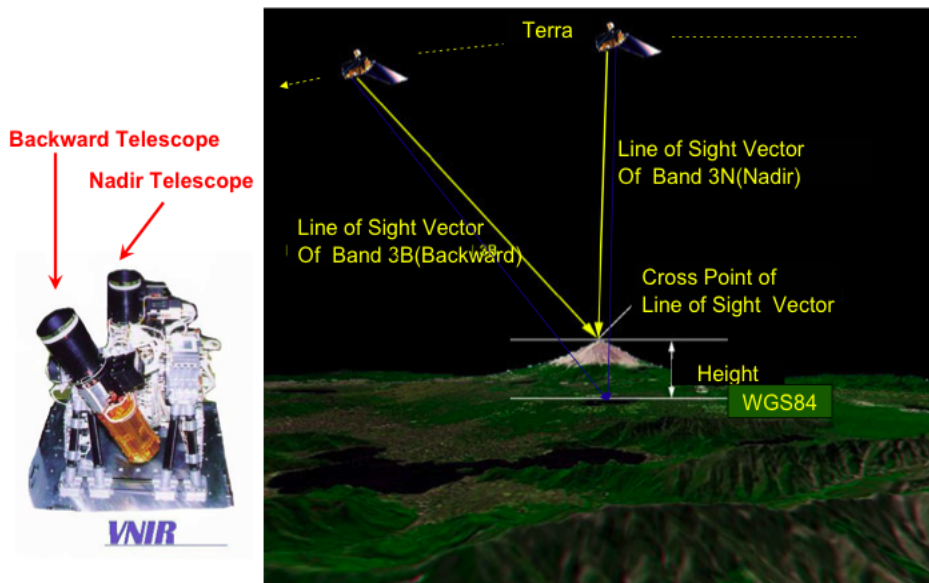


圖 14 ASTER 的鏡頭設計可拍成立體相像對用來製作 DEM 產品。



圖 15 94 年 8 月 1 日參觀日本 ERSDAC 的資料分析中心，後方櫃子為存放早期 ASTER 衛星影像資料帶的場所。



圖 16 94 年 8 月 2 日參訪日本東京大學生產技術研究所，照片右方為幫忙安排本次我方參訪行程的筑波大學講師西田顯郎。



圖 17 位於東京大學生產技術研究所樓頂，接收 MODIS 衛星影像資料的天線。

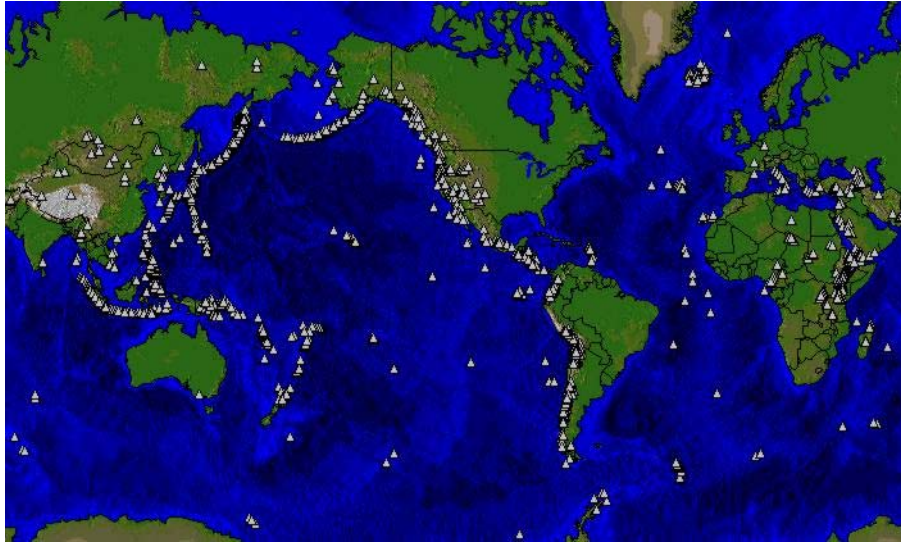


圖 18 日本 AIST 應用 ASTER 影像對圖中全球的火山進行監測。

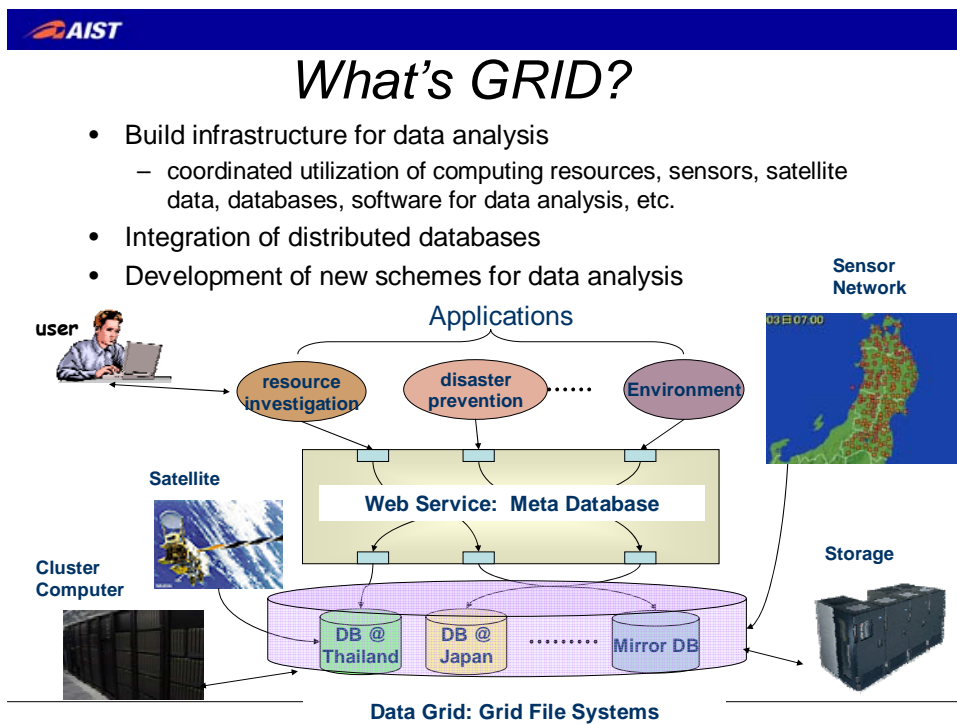


圖 19 日本 AIST 的 GRID 計畫構想。



圖 20 日本 AIST 的 GRID 技術研究中心資料及運算設備完整的電腦工作群組。



圖 21 與任職於日本宇宙航空研究開發機構（JAXA）的兒玉博士（照片左 2）合影留念。



圖 22 日本－台灣應用遙測監測環境與災害合作研討會成大劉正千
助教授報告「福衛二號－台灣的第 1 顆環境遙測衛星」。

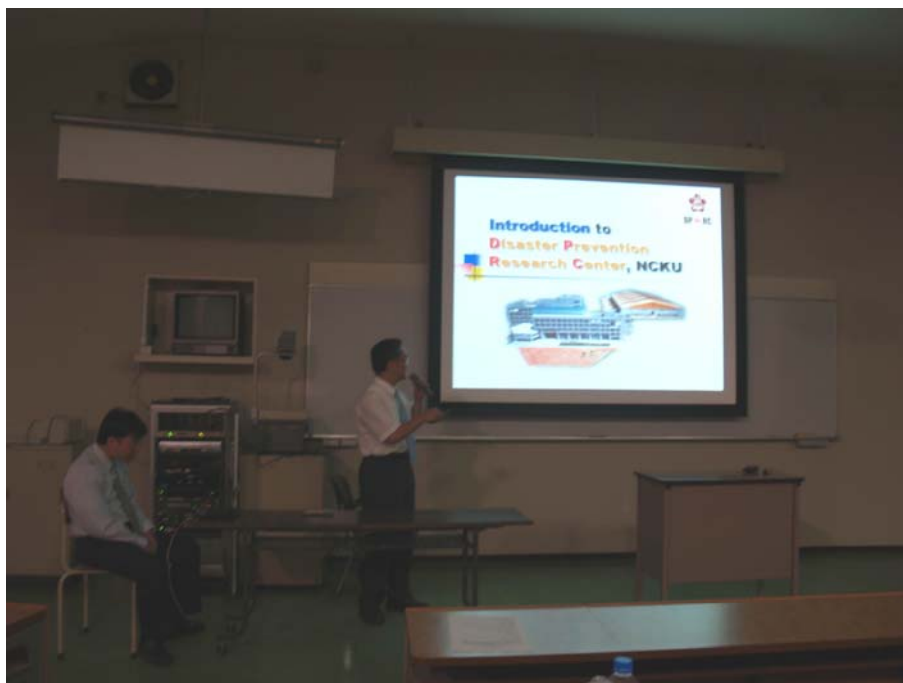


圖 23 日本－台灣應用遙測監測環境與災害合作研討會謝正倫教授
報告「成大防災中心及其工作介紹」。



圖 24 日本－台灣應用遙測監測環境與災害合作研討會地質調查所陳華玟科長報告「台灣應用遙測在地質上的研究概況」。

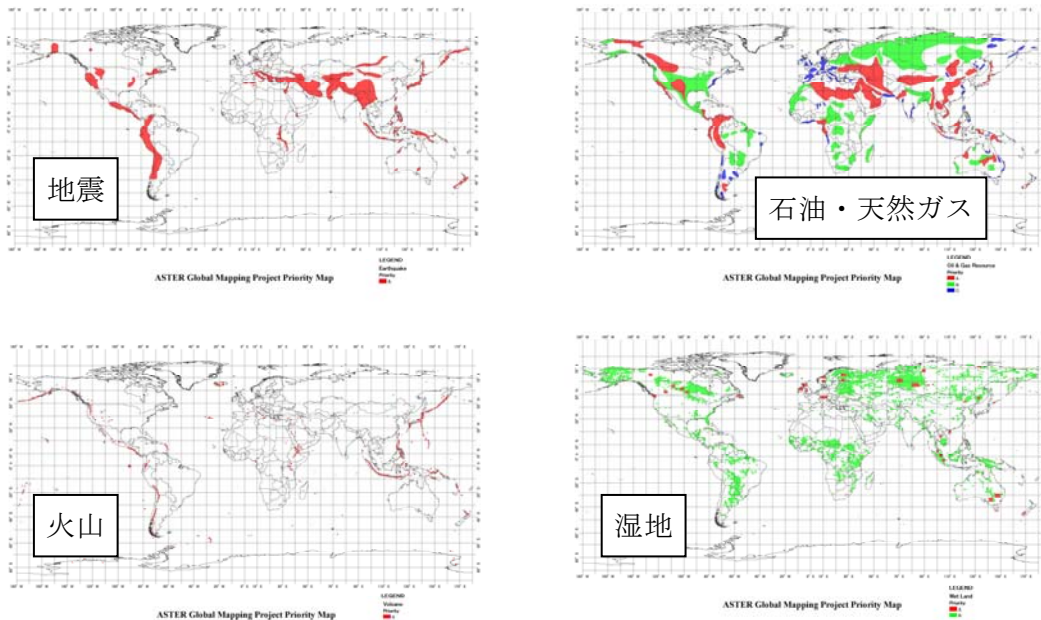


圖 25 日本國立環境研究所應用 ASTER 進行各項全球分布圖測製計畫，其中所排定之地震、石油與天燃氣、火山、及濕地等各別分布圖，在全球不同區域其工作的優先順序。